

• 临床研究 •

开放获取

单侧双通道内镜治疗多节段退变性腰椎疾病

李冬月，苏庆军*，张希诺，陶鲁铭，海涌

(首都医科大学附属北京朝阳医院骨科，北京 100020)

摘要：[目的] 探讨单侧双通道脊柱内镜技术 (unilateral biportal endoscopy, UBE) 治疗多节段退变性腰椎疾病 (multilevel degenerative lumbar disease, MDLD) 的安全性和临床疗效。[方法] 回顾性分析 2020 年 7 月—2022 年 6 月本科收治的 29 例 MDLD 患者的临床资料，均采用 UBE 技术治疗。评价临床及影像结果。[结果] 29 例患者均顺利完成手术，手术时间平均 (178.6 ± 26.5) min，术中透视次数平均 (10.9 ± 2.9) 次。并发症方面，硬膜囊撕裂 2 例，短暂性下肢麻木 2 例，硬膜外血肿 1 例，均未引起严重不良后果。随访时间平均 (19.3 ± 6.3) 个月，随术前、术后 7 d、术后 3 个月至术后 12 个月的时间推移，VAS 评分 $[(6.6 \pm 1.5), (3.2 \pm 0.5), (2.1 \pm 0.6), (1.7 \pm 0.5), P < 0.001]$ 、ODI 评分 $[(58.6 \pm 11.2), (33.5 \pm 4.6), (22.8 \pm 3.8), (17.5 \pm 2.2), P < 0.001]$ 、JOA 评分 $[(15.6 \pm 2.4), (19.6 \pm 2.0), (21.2 \pm 2.2), (24.7 \pm 2.5), P < 0.001]$ 均显著改善。术后 12 个月，按改良 MacNab 疗效评定标准，优良率 86.2%。影像方面，与术前相比，术后 12 个月椎管面积显著增加 $[(58.3 \pm 9.6) \text{ mm}^2, (118.4 \pm 14.2) \text{ mm}^2, P < 0.001]$ 。术后各节段关节突关节面积保留率均超过 60%。[结论] UBE 技术治疗 MDLD 的临床效果满意，保留更多小关节突，有利于维持腰椎的稳定性，是一种安全有效的术式。

关键词：单侧双通道内镜技术，多节段退变性腰椎疾病，临床疗效

中图分类号：R681.57

文献标志码：A

文章编号：1005-8478 (2024) 19-1807-05

Unilateral biportal endoscopy for the treatment of multilevel degenerative lumbar disease // LI Dong-yue, SU Qing-jun, ZHANG Xi-nuo, TAO Lu-ming, HAI Yong. Department of Orthopaedics, Beijing Chaoyang Hospital, Capital Medical University, Beijing 100020, China

Abstract: [Objective] To explore the safety and clinical efficacy of unilateral biportal endoscopy (UBE) in the treatment of multilevel degenerative lumbar disease (MDLD). [Methods] Twenty nine patients who received surgical decompression with UBE for MDLD from July 2020 to June 2022 were retrospectively analyzed. The clinical and imaging data were evaluated. [Results] All the 29 patients successfully completed the operation, with the average operation time of (178.6 ± 26.5) min, the average intraoperative fluoroscopy times of (10.9 ± 2.9) . In term of complication, dural tear happened in 2 cases, transient lower limb numbness in 2 cases, and epidural hematoma in 1 case, which not led serious consequence in anyone of them. The follow-up period lasted for (19.3 ± 6.3) months in average. As time went from the point before surgery, to 7 days, 3 months and 12 months postoperatively, the VAS score for pain $[(6.6 \pm 1.5), (3.2 \pm 0.5), (2.1 \pm 0.6), (1.7 \pm 0.5), P < 0.001]$, ODI score $[(58.6 \pm 11.2), (33.5 \pm 4.6), (22.8 \pm 3.8), (17.5 \pm 2.2), P < 0.001]$, JOA score $[(15.6 \pm 2.4), (19.6 \pm 2.0), (21.2 \pm 2.2), (24.7 \pm 2.5), P < 0.001]$ significantly improved. At 12 months after operation, the excellent and good rate was of 86.2%, according to the modified MacNab criteria. In terms of imaging, there was a significant increase in spinal canal area at 12 months after surgery compared with that preoperatively $[(58.3 \pm 9.6) \text{ mm}^2, (118.4 \pm 14.2) \text{ mm}^2, P < 0.001]$. The retention rate of facet joints was more than 60% in all levels. [Conclusion] The UBE used in the treatment of MDLD does achieve satisfactory clinical outcomes, with a benefit to maintain the stability of lumbar spine by preserving more facet joints, is a safe and effective operation.

Key words: unilateral biportal endoscopy, multi-segment degenerative lumbar disease, clinical efficacy

多节段退变性腰椎疾病 (multilevel degenerative lumbar disease, MDLD) 多见于中老年患者，常由椎间盘退变和椎管狭窄引起，临床表现为下腰痛、下肢放射性疼痛及麻木、间歇性跛行等，严重者对日常生活影响较大，常需手术治疗^[1]。既往多采用后路腰椎椎板切除、椎管减压固定融合 (如 PLIF 或 TLIF 等) 等术式，可以彻底减压并改善临床症状，但其对脊柱后方结构损伤较大，存在较多术后并发症，如邻近节

段退变、腰背肌综合征、螺钉松动、椎间融合器移位等^[2, 3]。随着内镜技术和手术器械的发展，脊柱内镜越来越多的被应用于腰椎疾病的治疗^[4, 5]。本研究旨在探讨单侧双通道脊柱内镜（unilateral biportal endoscopy, UBE）技术治疗MDLD的临床疗效。

1 临床资料

1.1 一般资料

回顾性分析2020年7月—2022年6月本科收治的29例MDLD患者的临床资料。患者均为下肢神经根性症状或神经源性间歇性跛行，保守治疗3~6个月以上无效者，影像学表现为2个以上节段的腰椎间盘突出或椎管狭窄，责任节段与临床症状相符，责任节段无腰椎不稳定者（术前过伸过屈侧位X线片示病变节段上下终板角度差<10°或椎体移行距离<4mm）^[6]。排除单节段腰椎间盘突出或椎管狭窄、伴有腰椎滑脱、腰椎不稳或退变性侧凸、既往腰椎手术病史及腰椎结核、肿瘤、椎间盘感染、强直性脊柱炎、骨折者。其中男11例，女18例。年龄48~73岁，平均(61.9±7.7)岁。双节段25例，三节段4例，L_{3/4}节段9个，L_{4/5}节段29个，L_{5/S₁}节段24个。均采用UBE行腰椎间盘切除或椎管扩大减压术。单侧症状患者，行单侧减压；双侧症状患者，行单侧入路双侧减压。本研究经医院医学伦理委员会审批同意，所有患者对手术方案及相关研究知情并签署同意书。

1.2 手术方法

全麻后，透视确认责任间隙，以上位椎体棘突根部为中心，旁开中线1.5~2.0cm，上下距离为1.5cm各做一纵行切口。近端为观察通道切口，置入脊柱内镜。远端为工作通道切口，置入操作器械，穿过椎旁肌到达上位椎体棘突根部。打开灌注系统，用等离子射频电刀分离椎板和黄韧带上的软组织。去除部分椎板边缘、下关节突内侧部分骨质，显露黄韧带上缘及下缘。分离黄韧带并去除，显露硬膜囊，向外侧切除部分上关节突内侧缘，显露神经根。探查椎间盘，如椎间盘突出压迫神经，则予以切除。如双侧症状，对侧存在狭窄，调整内镜及工作通道方向，进行椎管内对侧减压。切除棘突基底部分骨质，创造足够的空间，允许潜行对侧减压。与同侧减压一样去除对侧增生肥厚的黄韧带，必要时切除部分关节突关节内侧，显露对侧神经根。注意保护关节突关节结构，避免过度切除，以免破坏脊柱的稳定结构。探查神经根松弛无张力，硬膜囊搏动良好。彻底止血后，撤出器械和

内镜。近端节段同样行上述操作。双手挤压排出残留冲洗液，操作通道切口处留置引流管。所有手术均由同一医生完成。

1.3 评价指标

记录围手术期资料，采用疼痛视觉模拟评分(visual analogue scale, VAS)、Oswestry功能障碍指数(Oswestry disability index, ODI)、日本骨科协会腰椎评分(Japanese Orthopaedic Association, JOA)和改良MacNab标准评价临床效果。术后复查腰椎三维CT，观察关节突关节保留情况(术前关节突关节面积记为S，术后关节突关节保留部分的面积记为S'，关节突关节保留率=S/S×100%)。复查腰椎MRI，测量手术节段椎管内面积变化(面积测量工具为AutoCAD 2020)。

1.4 统计学方法

采用SPSS 19.0软件进行统计学分析。计量数据以 $\bar{x}\pm s$ 表示，资料呈正态分布时，采用配对样本T检验和单因素重复测量方差分析；资料呈非正态分布时，采用秩和检验。 $P<0.05$ 为差异有统计学意义。

2 结 果

2.1 临床结果

所有患者均顺利完成手术，术中无血管、神经损伤等严重并发症。手术时间135~245 min，平均(178.6±26.5) min。术中透视次数6~16次，平均(10.9±2.9)次，住院时间4~14 d，平均(7.1±2.7)d。硬膜囊撕裂2例，给予积极补液、床尾抬高等对症处理后症状缓解；短暂性下肢麻木2例，给予神经营养等对症治疗后缓解；椎管内硬膜外血肿1例，予以激素和甘露醇脱水等治疗后，症状改善，未行血肿清除术。均无类脊髓高压反应等相关并发症，切口均一期愈合，无感染病例。

所有患者获得12~36个月随访，平均随访时间(19.3±6.3)个月。术后1个月，患者恢复完全负重活动。随访期间，1例双节段手术患者，L_{3/4}和L_{4/5}节段均为单侧减压，术后2个月出现对侧下肢疼痛麻木，予以翻修手术(固定融合术)。患者临床结果见表1。随时间推移，患者VAS、ODI评分显著减少($P<0.05$)，JOA评分显著增加($P<0.05$)。术后12个月，按改良MacNab疗效评定标准，优21例，良4例，可3例，优良率86.2%。典型病例见图1。

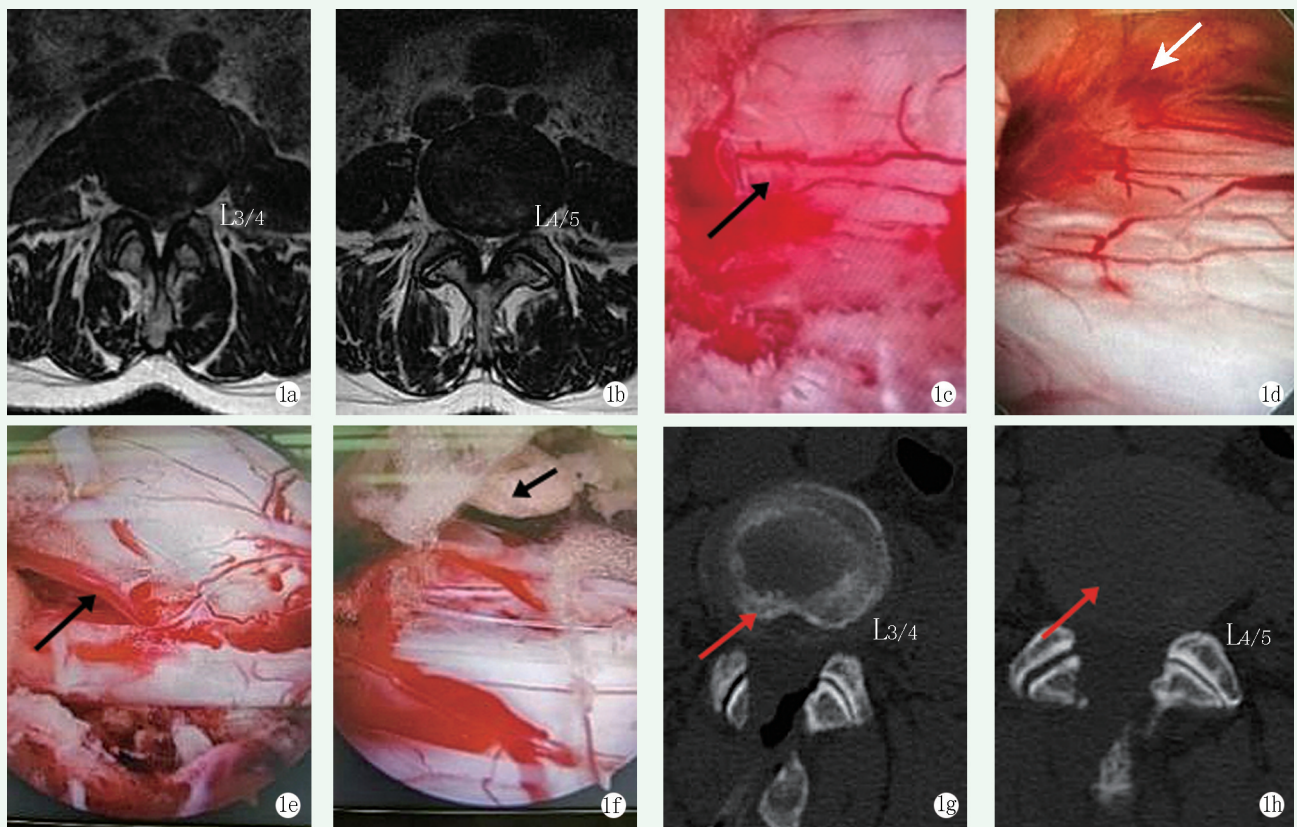


图1. 患者女性，60岁，诊断为MDLD，手术方式为双节段UBE。1a, 1b:术前MRI提示L_{3/4}、L_{4/5}腰椎管狭窄，椎间盘突出，相应神经根受压；1c, 1d:术中行L_{3/4}节段双侧椎管减压，突出的椎间盘切除，探查L₄双侧神经根减压充分；1e, 1f:术中行L_{4/5}节段双侧椎管减压，椎间盘未切除，探查L₅双侧神经根减压充分；1g, 1h:术后复查腰椎CT显示L_{3/4}、L_{4/5}右侧关节突关节保留至少1/2以上，椎管明显扩大。

Figure 1. A 60-year-old female, diagnosed with MDLD and underwent double segments UBE surgery. 1a, 1b: Preoperative MRI showed L_{3/4} and L_{4/5} lumbar spinal canal stenosis, with intervertebral disc herniation, and corresponding nerve root compression; 1c, 1d: Bilateral spinal canal decompression at L_{3/4} level was performed, the protruding disc was resected, with bilateral nerve root decompressed at L₄ adequately; 1e, 1f: Bilateral spinal canal decompression at L_{4/5} level was performed with bilateral L₅ nerve root fully decompressed, while the intervertebral disc left intact; 1g, 1h: Postoperative lumbar CT showed that at least 1/2 of the right facet joints were preserved at L_{3/4} and L_{4/5}, and the spinal canal significantly enlarged.

2.2 影像评估

总计手术62个节段。术后12个月，椎管面积较术前显著增大($P<0.05$)。UBE手术侧L_{3/4}、L_{4/5}、L_{5/S1}关节突关节面积测量结果见表2。术后关节突关节面积保留率均超过60%，保留程度超过1/2。

表1. 29患者临床结果、影像学资料比较($\bar{x} \pm s$)
Table 1. Comparison of clinical and imaging data of the 29 patients ($\bar{x} \pm s$)

	VAS评分 (分)	JOA评分 (分)	ODI评分 (%)	椎管面积 (mm ²)
术前	6.6±1.5	15.6±2.4	58.6±11.2	58.3±9.6
术后7 d	3.2±0.5	19.6±2.0	33.5±4.6	-
术后3个月	2.1±0.6	21.2±2.2	22.8±3.8	-
术后12个月	1.7±0.5	24.7±2.5	17.5±2.2	118.4±14.2
P值	<0.001	<0.001	<0.001	<0.001

3 讨论

当MDLD患者临床症状对日常生活影响较大，保守治疗效果有限时，常需手术治疗^[1, 2]。传统的手术方式是椎板切除减压和椎间融合固定，但由于破坏了椎体后方的骨性结构和连接韧带，有可能继发腰椎不稳定及滑脱、邻近节段退变、顽固性腰痛、内固定松动等相关并发症^[3, 4]。随着内镜技术和手术器械的不断发展，脊柱内镜越来越多地被应用于MDLD的治疗^[4, 5]。

表2. 手术侧关节突关节术前、术后面积测量结果($\bar{x} \pm s$)
Table 2. Pre- and post-operation area measurement of the facet joint on the surgical side ($\bar{x} \pm s$)

	L _{3/4} 节段	L _{4/5} 节段	L _{5/S1} 节段
术前(cm ²)	1.9±0.1	2.2±0.2	2.6±0.2
术后(cm ²)	1.1±0.1	1.6±0.1	2.0±0.1
保留率(%)	60.1±4.6	71.1±6.2	76.0±6.8

目前脊柱内镜技术主要有UBE、显微内镜、单通道同轴内镜等^[7-14]。Eun等^[10]报道，与显微内镜

相比, UBE 对椎旁软组织的损伤更小。Pranata 等^[11]报道, UBE 在住院时间、早期活动和止痛药物服用时间等方面更有优势, 并且具有更清晰的手术视野。Heo 等^[12]认为, 与单通道同轴内镜相比, UBE 对椎管的减压更为充分, 由于没有管道限制, 观察通道和操作通道都具有较高灵活性和操作空间, 手术视野广阔。Hwa 等^[13]认为, 通过调整双通道的位置和角度, 可以完成对侧增生黄韧带的切除, 从而达到单侧入路、双侧减压的效果。本研究术中均能够充分显露硬脊膜和神经根, 术后临床症状均明显好转, VAS、JOA 及 ODI 评分较术前明显改善 ($P<0.05$), 且随着时间的推移继续改善 ($P<0.05$), 术后 12 个月随访时优良率为 86.2%。

腰椎椎间盘和两个关节突关节共同构成三关节复合体, 以维持腰椎的稳定^[5]。若某一侧关节突关节破坏过多, 该侧失去关节突支点, 腰椎屈伸活动时造成局部不稳定^[15]。罗刚等^[15]认为, 术中腰椎关节突关节切除范围在 1/2 以内时, 对于腰椎的稳定性无明显影响。Heo 等^[12]测量 3 种微创手术后关节突关节内侧切除角, UBE 为最小值, 表明 UBE 可以最大程度地保留关节突关节的稳定性。本研究中 UBE 术后腰椎三维 CT 显示, 手术侧关节突关节的保留率均超过 60%, 可以较好保留手术侧的关节突关节。单侧入路双侧减压时, 对侧的关节突关节仅少许切除, 对腰椎的稳定性几乎无影响。

综上所述, UBE 技术治疗 MDLD 可以取得满意的临床效果, 保持腰椎的稳定性, 兼具手术创伤小、术后恢复快的优势, 是一种安全有效的术式。但本研究仍存在一定的局限性, 为回顾性研究、病例数较少、随访时间较短, 未来需要通过更多前瞻性、大样本、长期随访研究去补充和证实这一结果。

参考文献

- [1] 朱卉敏, 张锴, 王衡, 等. 椎间孔镜联合短节段固定治疗多节段腰椎退变性疾病的短期疗效 [J]. 中国矫形外科杂志, 2017, 25 (17) : 1624–1626. DOI: 10.3977/j.issn.1005-8478.2017.17.20.
- Zhu HM, Zhang K, Wang H, et al. Short-term efficacy of intervertebral foramen endoscopy combined with short segment fixation in the treatment of multi segment lumbar degenerative diseases [J]. Orthopedic Journal of China, 2017, 25 (17) : 1624–1626. DOI: 10.3977/j.issn.1005-8478.2017.17.20.
- [2] Joseph JR, Smith BW, La Marca F, et al. Comparison of complication rates of minimally invasive transforaminal lumbar interbody fusion and lateral lumbar interbody fusion: a systematic review of the literature [J]. Neurosurg Focus, 2015, 39 (4) : E4. DOI: 10.3171/2015.7.FOCUS15278.
- [3] Kim CH, Easley K, Lee JS, et al. Comparison of minimally invasive versus open transforaminal interbody lumbar fusion [J]. Global Spine J, 2020, 10 (2 Suppl) : 143S–150S. DOI: 10.1177/2192568219882344.
- [4] Jiang HW, Chen CD, Zhan BS, et al. Unilateral biportal endoscopic discectomy versus percutaneous endoscopic lumbar discectomy in the treatment of lumbar disc herniation: a retrospective study [J]. J Orthop Surg Res, 2022, 17 (1) : 30. DOI: 10.1186/s13018-022-02929-5.
- [5] Pao JL, Lin SM, Chen WC, et al. Unilateral biportal endoscopic decompression for degenerative lumbar canal stenosis [J]. J Spine Surg, 2020, 6 (2) : 438–446. DOI: 10.21037/jss.2020.03.08.
- [6] Lai PL, Chen LH, Niu CC, et al. Effect of postoperative lumbar sagittal alignment on the development of adjacent instability [J]. J Spinal Disord Tech, 2004, 17 (5) : 353–357. DOI: 10.1097/01.bsd.000112083.04960.bc.
- [7] 张广程, 祁伟, 陈燕, 等. 腰椎侧隐窝狭窄伴椎间盘突出症两种内镜术比较 [J]. 中国矫形外科杂志, 2022, 30 (15) : 1350–1355. DOI: 10.3977/j.issn.1005-8478.2022.15.02.
- Zhang GC, Qi W, Chen Y, et al. Comparison of two kinds of endoscopic surgery for lumbar lateral recess stenosis accompanied with disc herniation [J]. Orthopedic Journal of China, 2022, 30 (15) : 1350–1355. DOI: 10.3977/j.issn.1005-8478.2022.15.02.
- [8] 芦怀旺, 胡鹏, 田霖, 等. 腰椎管狭窄症单侧双通道内镜下单纯侧与双侧减压比较 [J]. 中国矫形外科杂志, 2022, 230 (18) : 1643–1647. DOI: 10.3977/j.issn.1005-478.2022.18.03.
- Lu HW, Hu P, Tian L, et al. Comparison of unilateral and bilateral decompression under unilateral biportal endoscopy for lumbar spinal stenosis [J]. Orthopedic Journal of China, 2022, 230 (18) : 1643–1647. DOI: 10.3977/j.issn.1005-478.2022.18.03.
- [9] Hu YT, Fu H, Yang DF, et al. Clinical efficacy and imaging outcomes of unilateral biportal endoscopy with unilateral laminotomy for bilateral decompression in the treatment of severe lumbar spinal stenosis [J]. Front Surg, 2023, 6 (9) : 1061566. DOI: 10.3389/fsurg.2022.1061566.
- [10] Eun SS, Eum JH, Lee SH, et al. Biportal endoscopic lumbar decompression for lumbar disk herniation and spinal canal stenosis: a technical note [J]. J Neurol Surg A Cent Eur Neurosurg, 2017, 78 (4) : 390–396. DOI: 10.1055/s-0036-1592157.
- [11] Pranata R, Lim MA, Vania R, et al. Biportal endoscopic spinal surgery versus microscopic decompression for lumbar spinal stenosis: a systematic review and meta-analysis [J]. World Neurosurg, 2020, 138: e450–e458. DOI: 10.1016/j.wneu.2020.02.151.
- [12] Heo DH, Lee DC, Park CK. Comparative analysis of three types of minimally invasive decompressive surgery for lumbar central stenosis: biportal endoscopy, uniportal endoscopy, and microsurgery [J]. Neurosurg Focus, 2019, 46 (5) : E9. DOI: 10.3171/2019.2.FOCUS197.

(下转 1815 页)